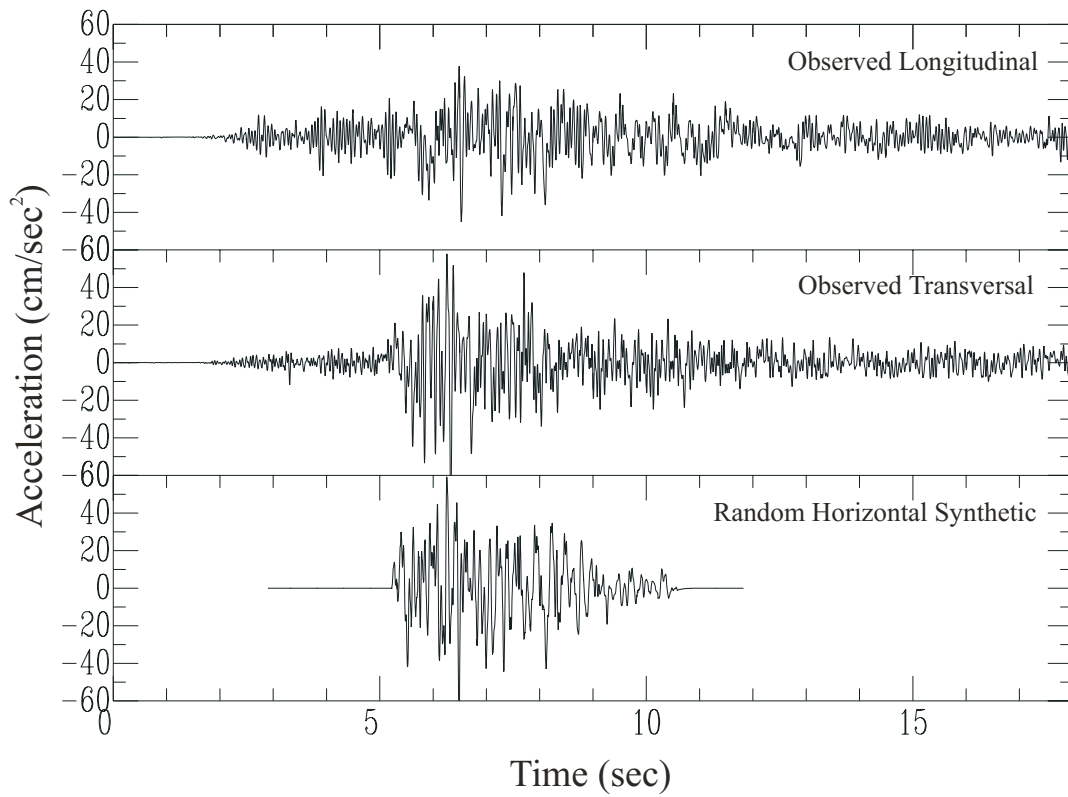


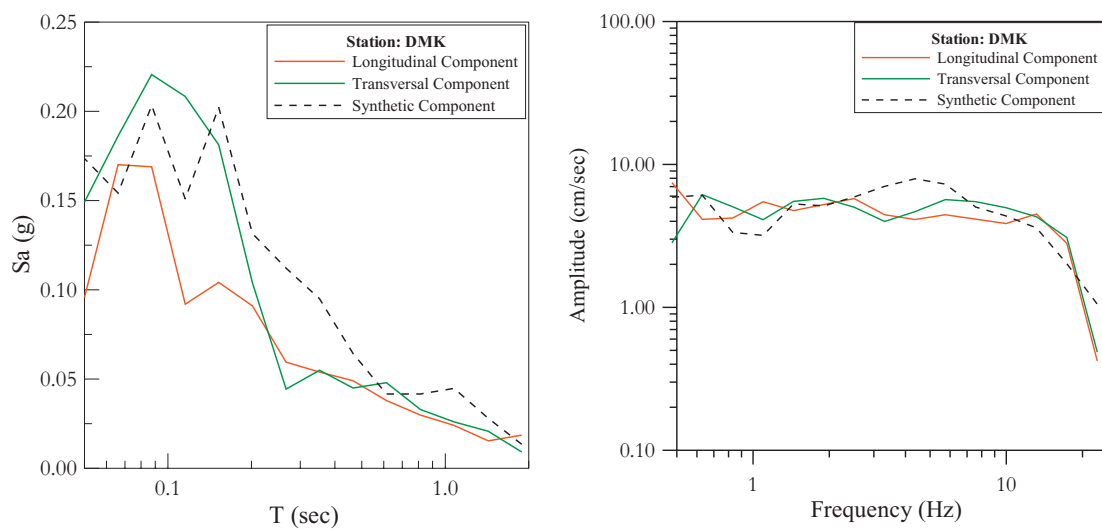
## ΠΑΡΑΡΤΗΜΑ 5

Τα σχήματα του παραρτήματος δείχνουν τα αποτελέσματα των στοχαστικών προσομοιώσεων, τα οποία περιλαμβάνουν κατάλληλη διόρθωση για την υποεκτίμηση του πλάτους των χαμηλών συχνοτήτων που οφείλεται στη διαίρεση του μοντέλου της σεισμικής πηγής σε μεγάλο αριθμό τμημάτων. Συγκεκριμένα, παρουσιάζονται συγκρίσεις των κυματομορφών, των ελαστικών φασμάτων απόκρισης και των φασμάτων πλάτους Fourier των συνθετικών και παρατηρούμενων ισχυρών σεισμικών κινήσεων.

### ΣΤΑΘΜΟΣ DMK

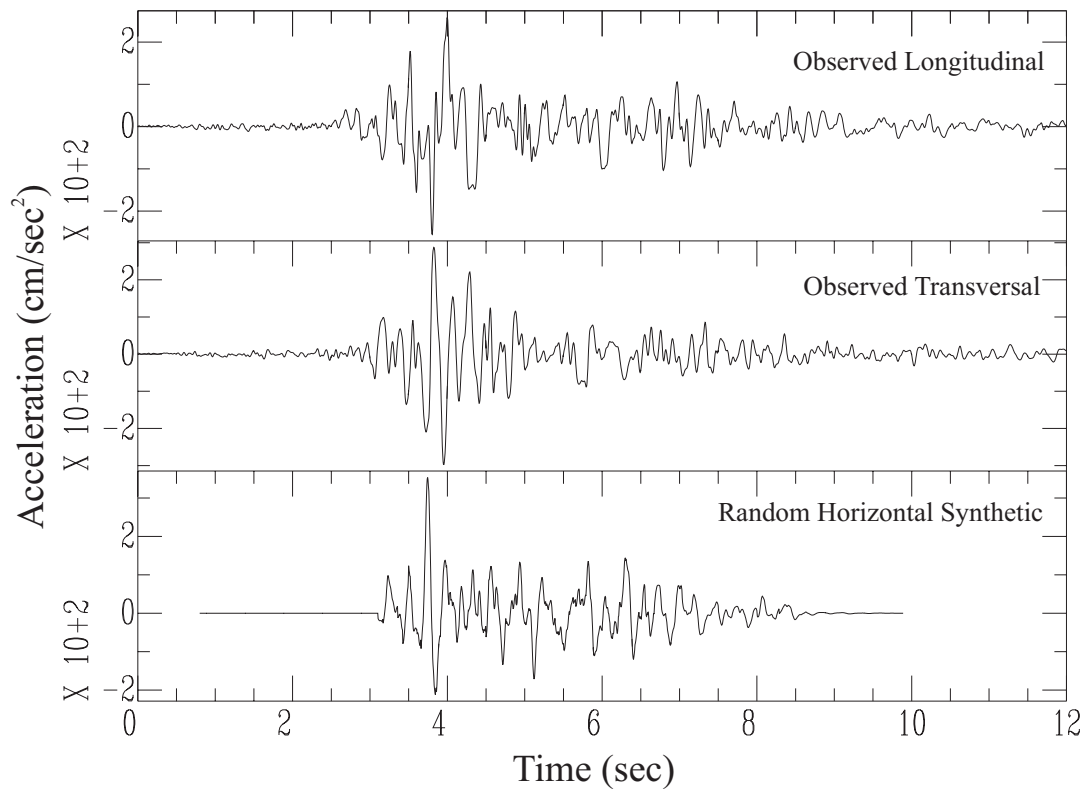


**Σχήμα 1:** Σύγκριση παρατηρούμενων οριζόντιων συνιστωσών επιτάχυνσης στον σταθμό DMK (επάνω και κέντρο) με τη συνθετική τυχαία οριζόντια συνιστώσα (κάτω).

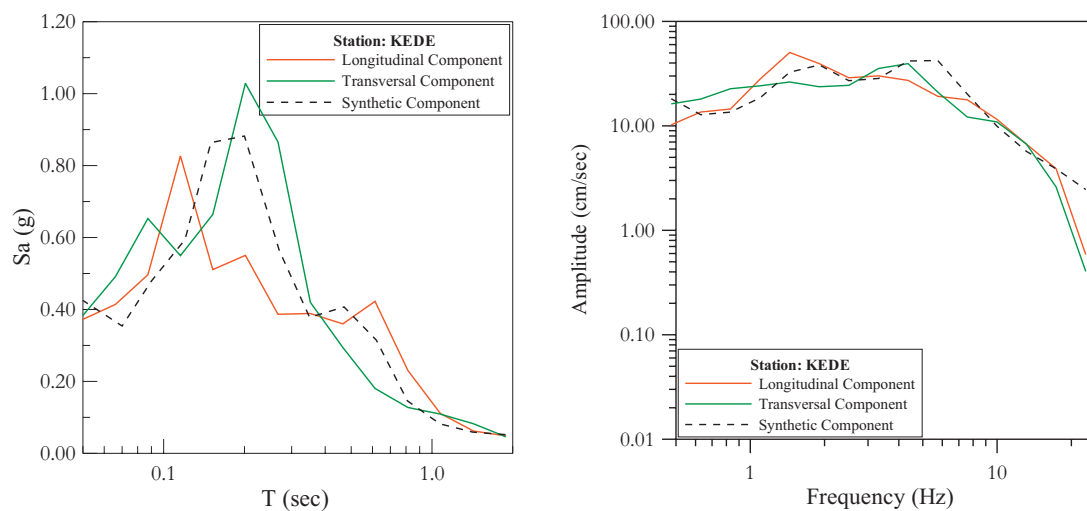


**Σχήμα 2:** Σύγκριση παρατηρούμενων φασμάτων απόκρισης (αριστερά) και πλάτους Fourier (δεξιά) στον σταθμό DMK (συνεχείς γραμμές) με τα αντίστοιχα συνθετικά φάσματα (στικτές γραμμές).

### ΣΤΑΘΜΟΣ KEDE

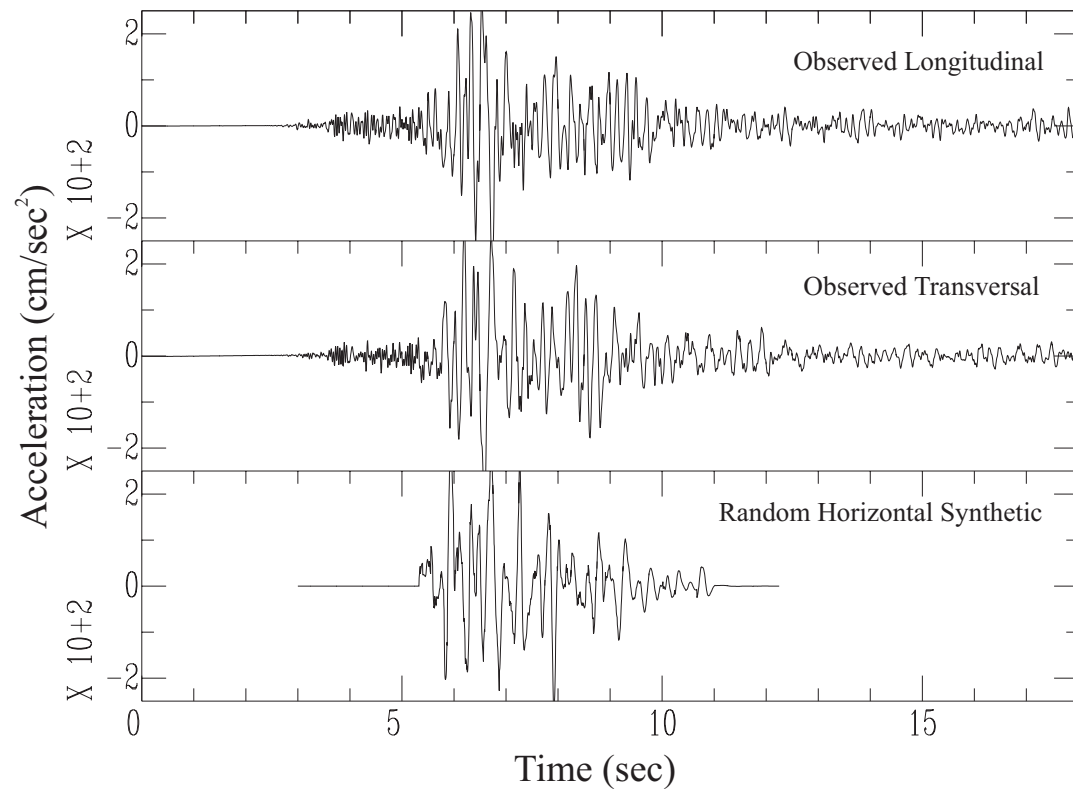


**Σχήμα 3:** Σύγκριση παρατηρούμενων οριζόντιων συνιστωσών επιτάχυνσης στον σταθμό KEDE (επάνω και κέντρο) με τη συνθετική τυχαία οριζόντια συνιστώσα (κάτω).

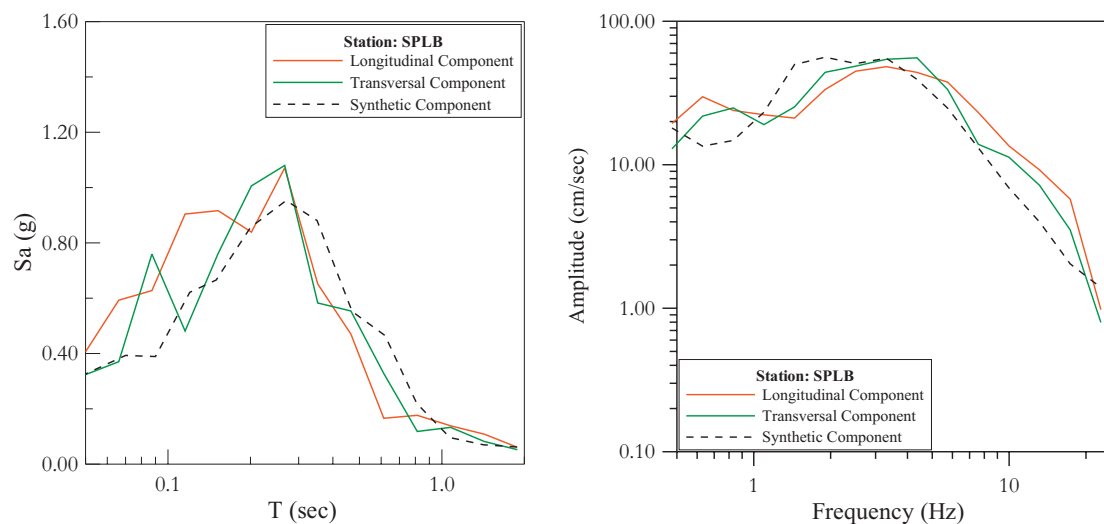


**Σχήμα 4:** Σύγκριση παρατηρούμενων φασμάτων απόκρισης (αριστερά) και πλάτους Fourier (δεξιά) στον σταθμό KEDE (συνεχείς γραμμές) με τα αντίστοιχα συνθετικά φάσματα (στικτές γραμμές).

### ΣΤΑΘΜΟΣ SPLB

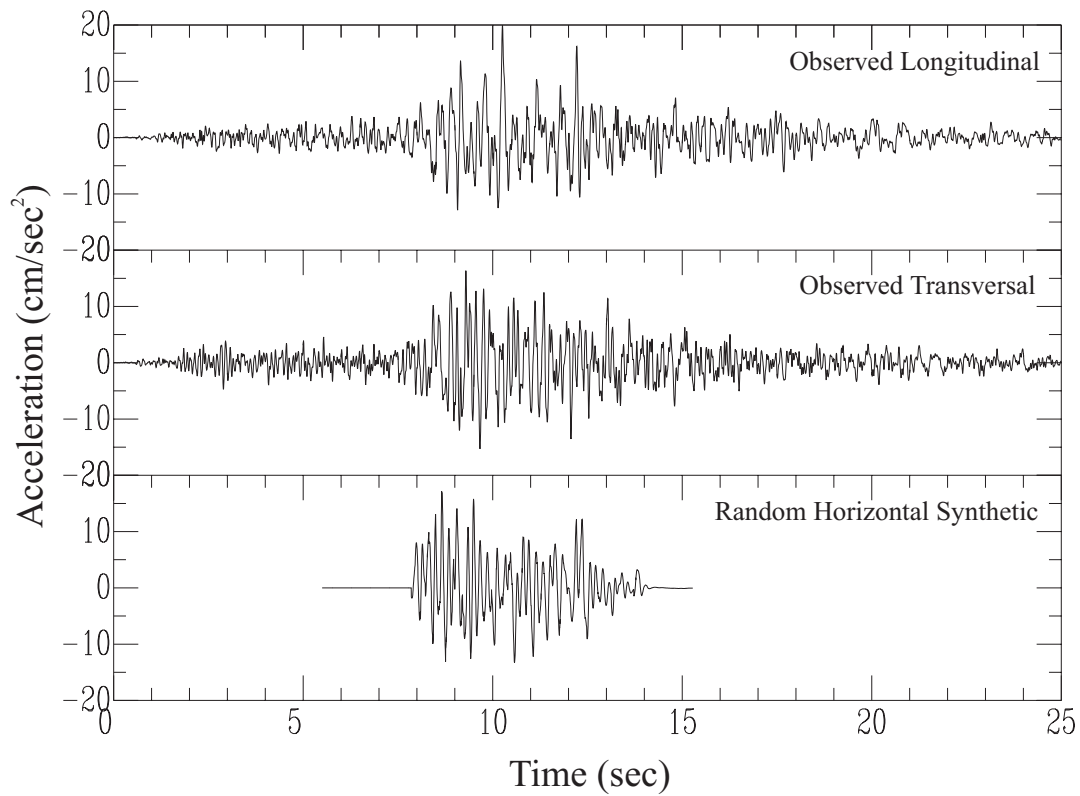


**Σχήμα 5:** Σύγκριση παρατηρούμενων οριζόντιων συνιστωσών επιτάχυνσης στον σταθμό SPLB (επάνω και κέντρο) με τη συνθετική τυχαία οριζόντια συνιστώσα (κάτω).

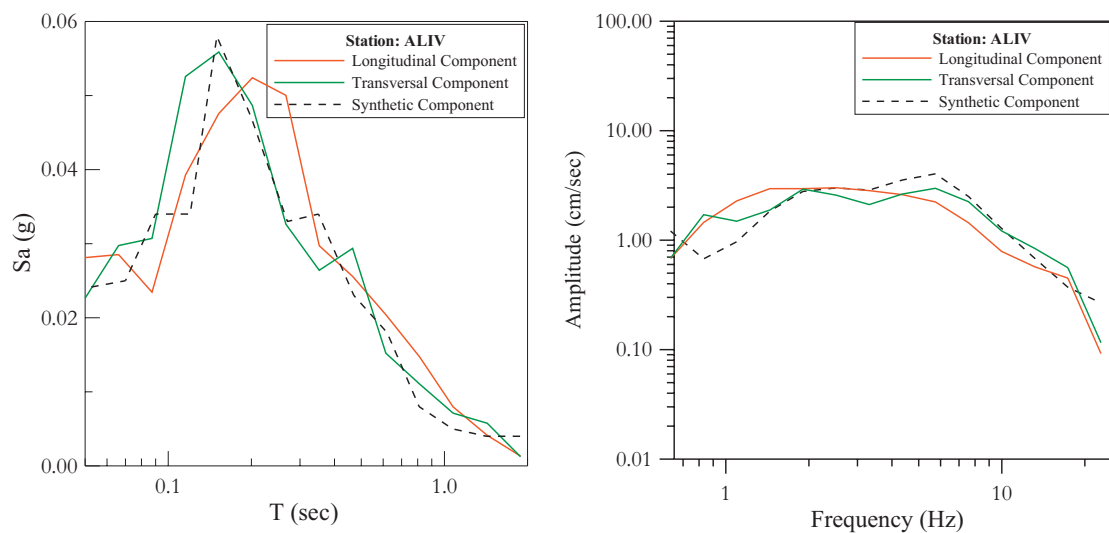


**Σχήμα 6:** Σύγκριση παρατηρούμενων φασμάτων απόκρισης (αριστερά) και πλάτους Fourier (δεξιά) στον σταθμό SPLB (συνεχείς γραμμές) με τα αντίστοιχα συνθετικά φάσματα (στικτές γραμμές).

### ΣΤΑΘΜΟΣ ALIV

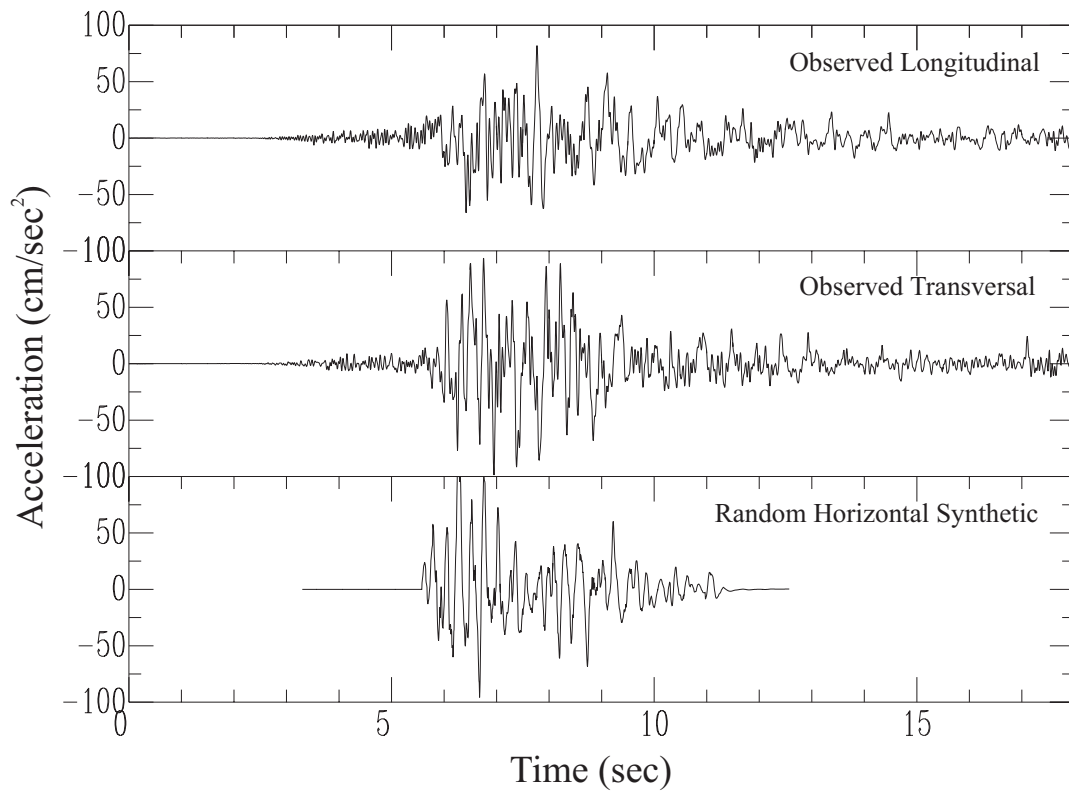


**Σχήμα 7:** Σύγκριση παρατηρούμενων οριζόντιων συνιστωσών επιτάχυνσης στον σταθμό ALIV (επάνω και κέντρο) με τη συνθετική τυχαία οριζόντια συνιστώσα (κάτω).

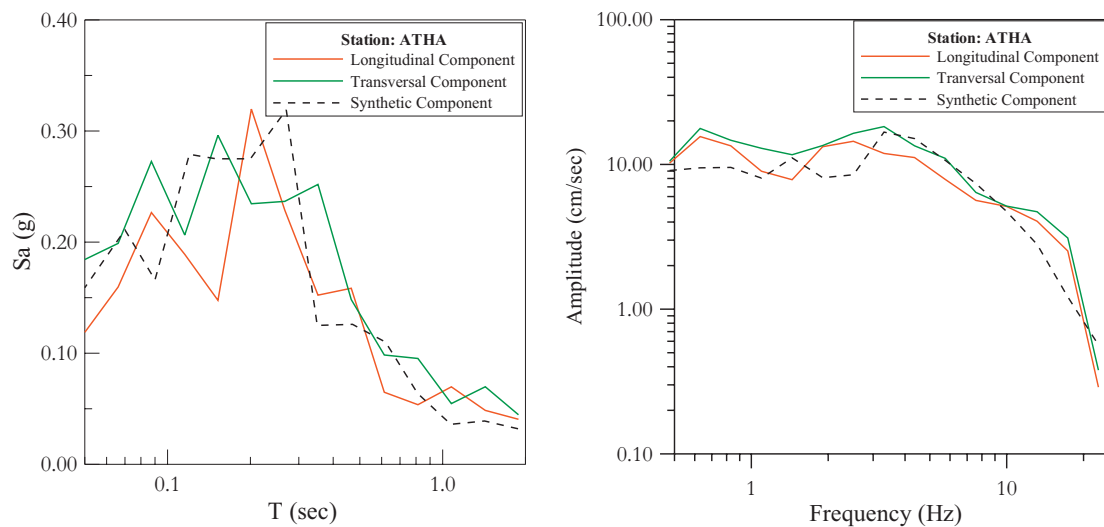


**Σχήμα 8:** Σύγκριση παρατηρούμενων φασμάτων απόκρισης (αριστερά) και πλάτους Fourier (δεξιά) στον σταθμό ALIV (συνεχείς γραμμές) με τα αντίστοιχα συνθετικά φάσματα (στικτές γραμμές).

### ΣΤΑΘΜΟΣ ΑΘΗ

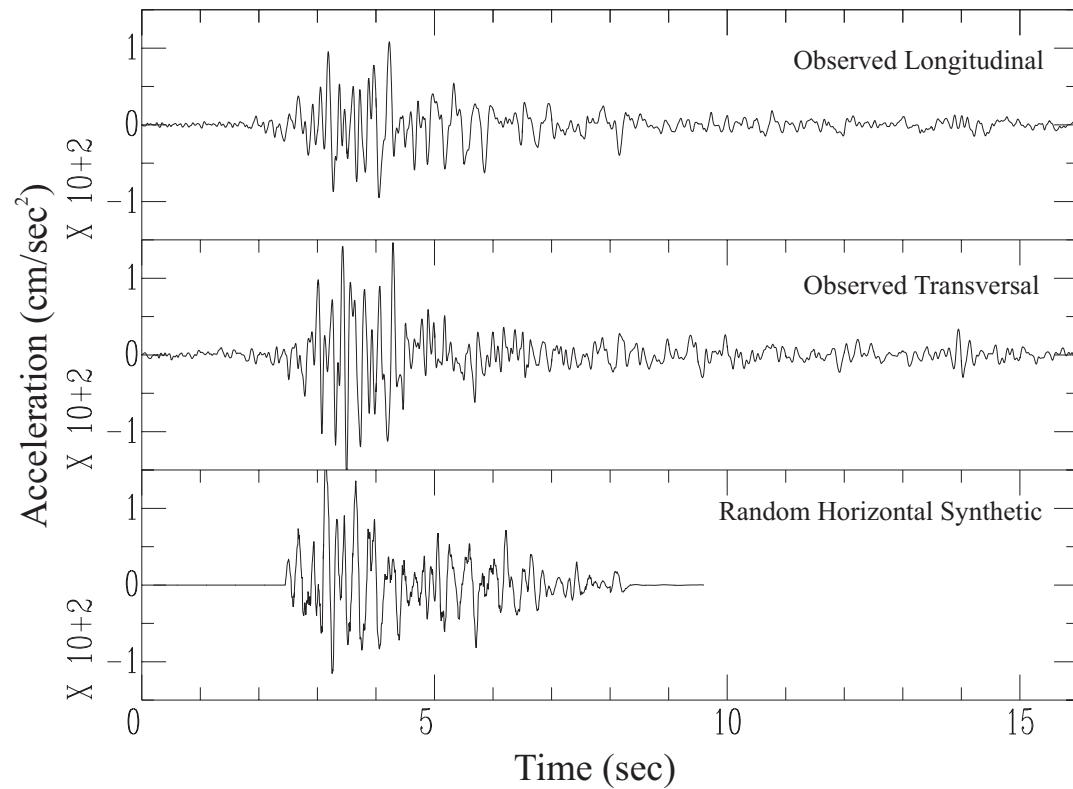


**Σχήμα 9:** Σύγκριση παρατηρούμενων οριζόντιων συνιστωσών επιτάχυνσης στον σταθμό ΑΘΗ (επάνω και κέντρο) με τη συνθετική τυχαία οριζόντια συνιστώσα (κάτω).

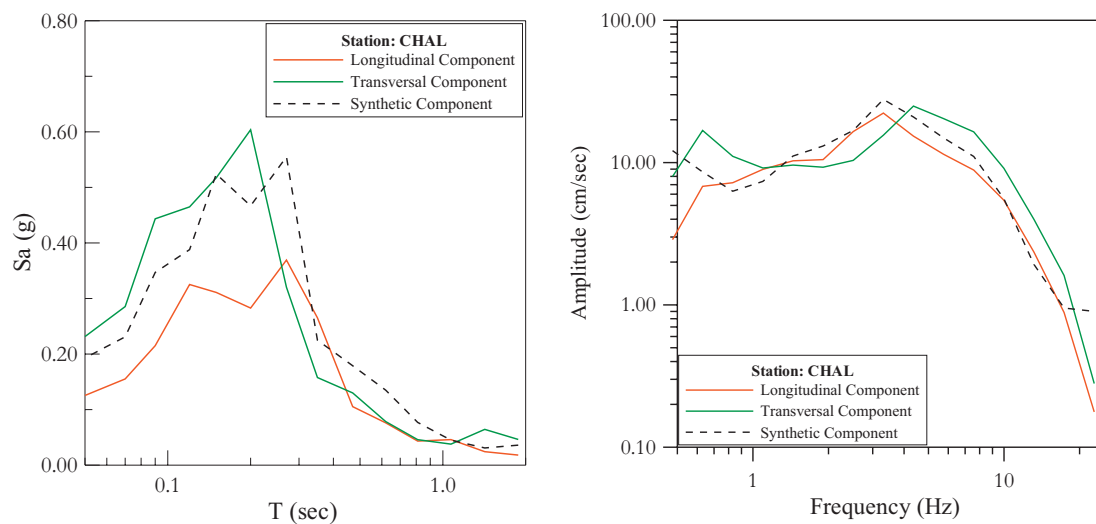


**Σχήμα 10:** Σύγκριση παρατηρούμενων φασμάτων απόκρισης (αριστερά) και πλάτους Fourier (δεξιά) στον σταθμό ΑΘΗ (συνεχείς γραμμές) με τα αντίστοιχα συνθετικά φάσματα (στικτές γραμμές).

### ΣΤΑΘΜΟΣ CHAL

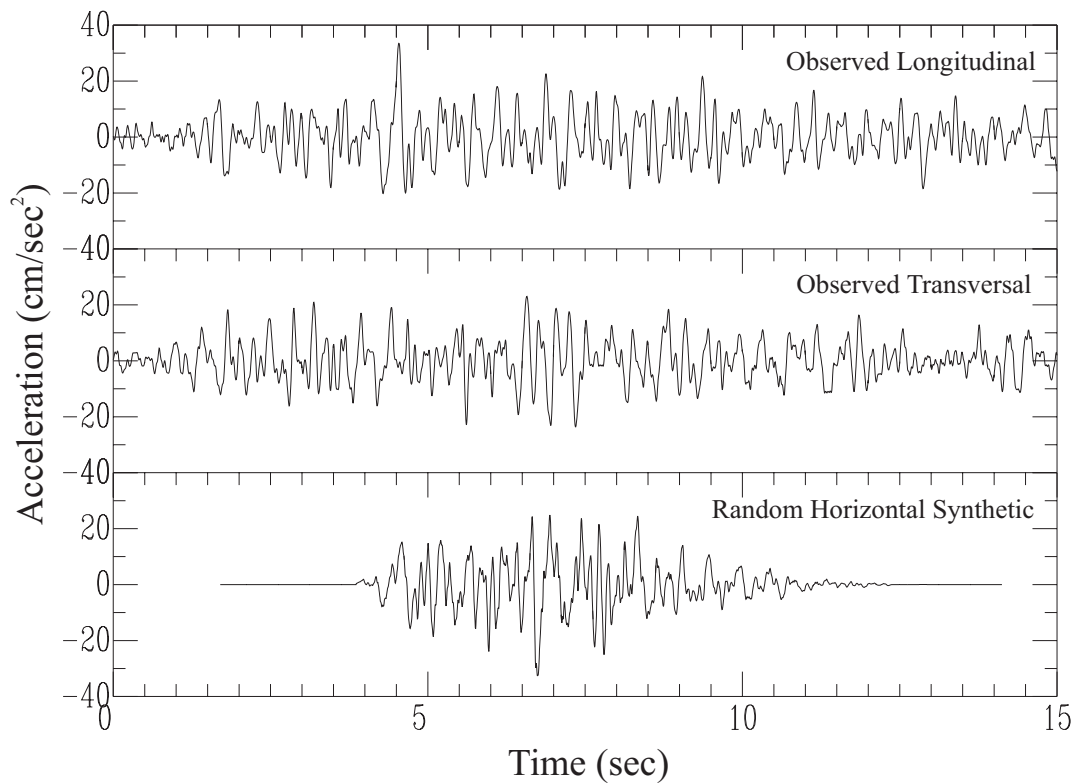


**Σχήμα 11:** Σύγκριση παρατηρούμενων οριζόντιων συνιστωσών επιτάχυνσης στον σταθμό CHAL (επάνω και κέντρο) με τη συνεκτική τυχαία οριζόντια συνιστώσα (κάτω).

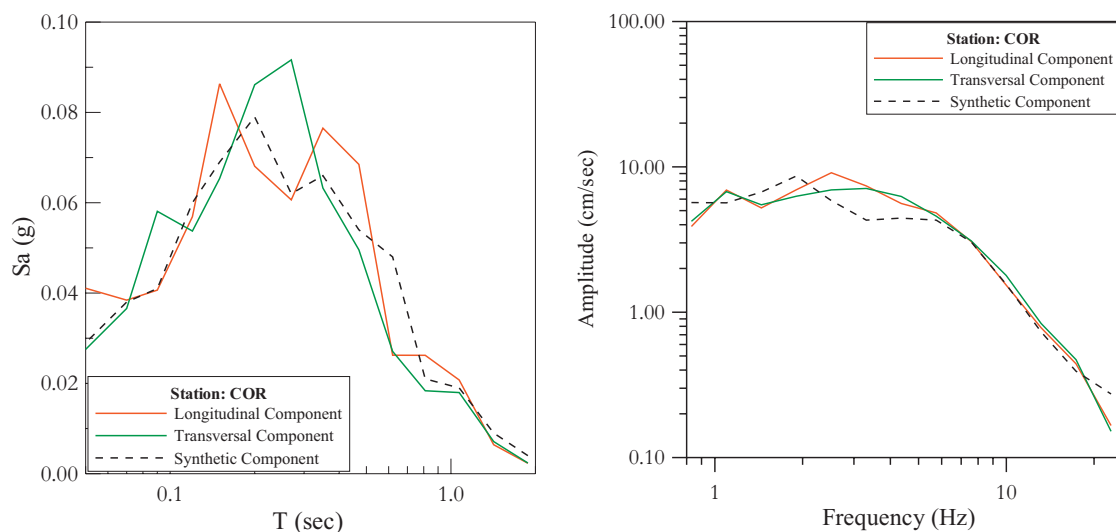


**Σχήμα 12:** Σύγκριση παρατηρούμενων φασμάτων απόκρισης (αριστερά) και πλάτους Fourier (δεξιά) στον σταθμό CHAL (συνεχείς γραμμές) με τα αντίστοιχα συνθετικά φάσματα (στικτές γραμμές).

### ΣΤΑΘΜΟΣ COR



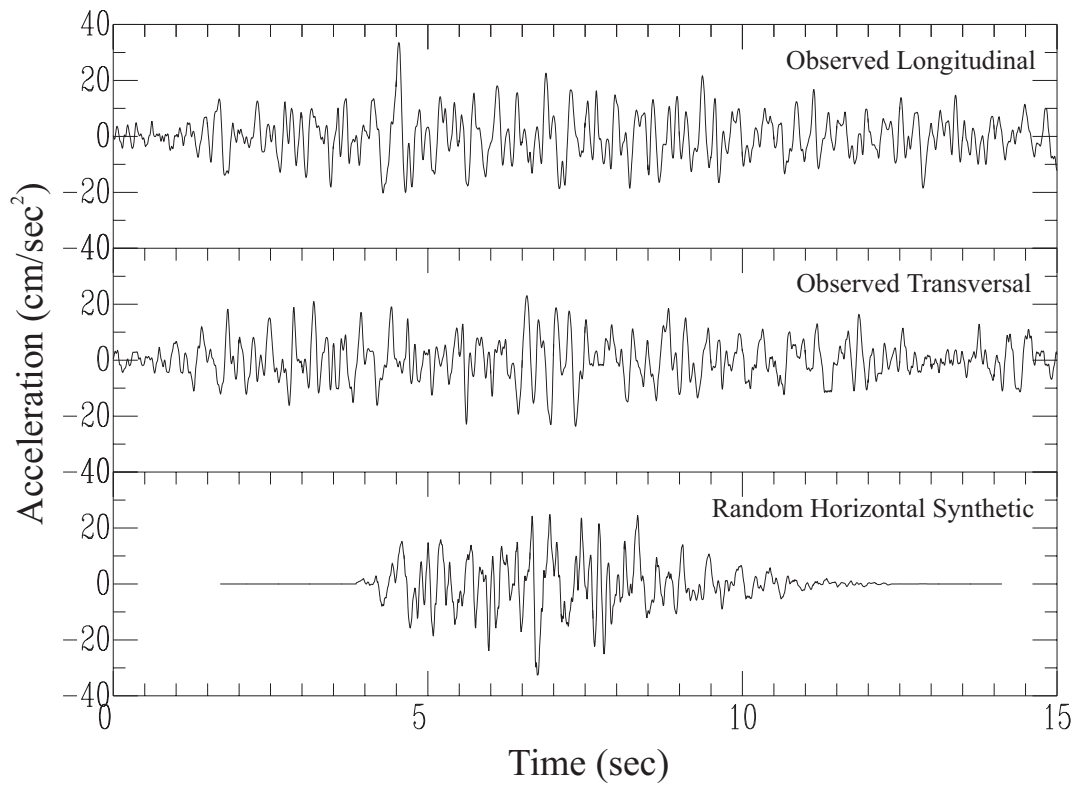
**Σχήμα 13:** Σύγκριση παρατηρούμενων οριζόντιων συνιστωσών επιτάχυνσης στον σταθμό COR (επάνω και κέντρο) με τη συνθετική τυχαία οριζόντια συνιστώσα (κάτω).



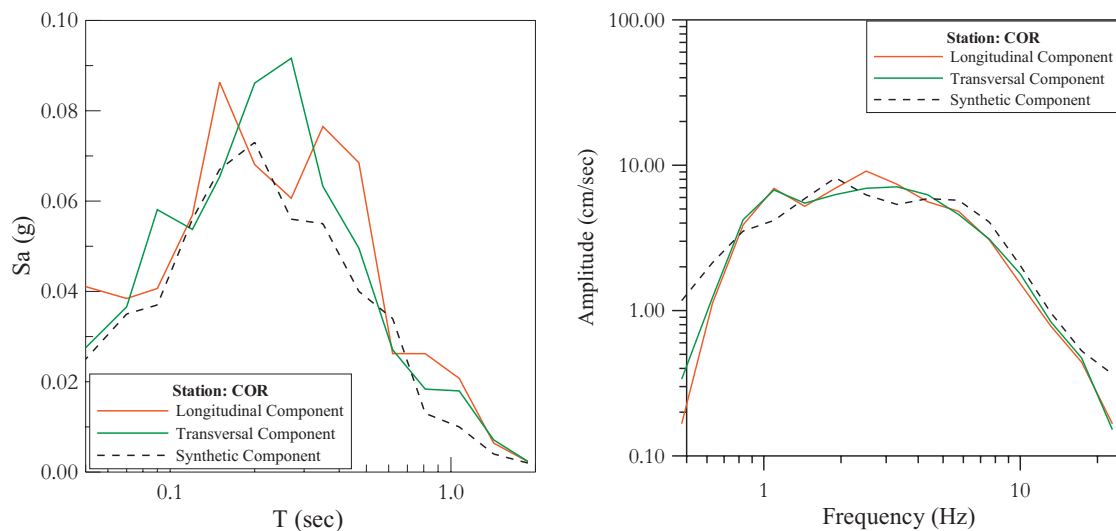
**Σχήμα 14:** Σύγκριση παρατηρούμενων φασμάτων απόκρισης (αριστερά) και πλάτους Fourier (δεξιά) στον σταθμό COR (συνεχείς γραμμές) με τα αντίστοιχα συνθετικά φάσματα (στικτές γραμμές).



### ΣΤΑΘΜΟΣ DFNA

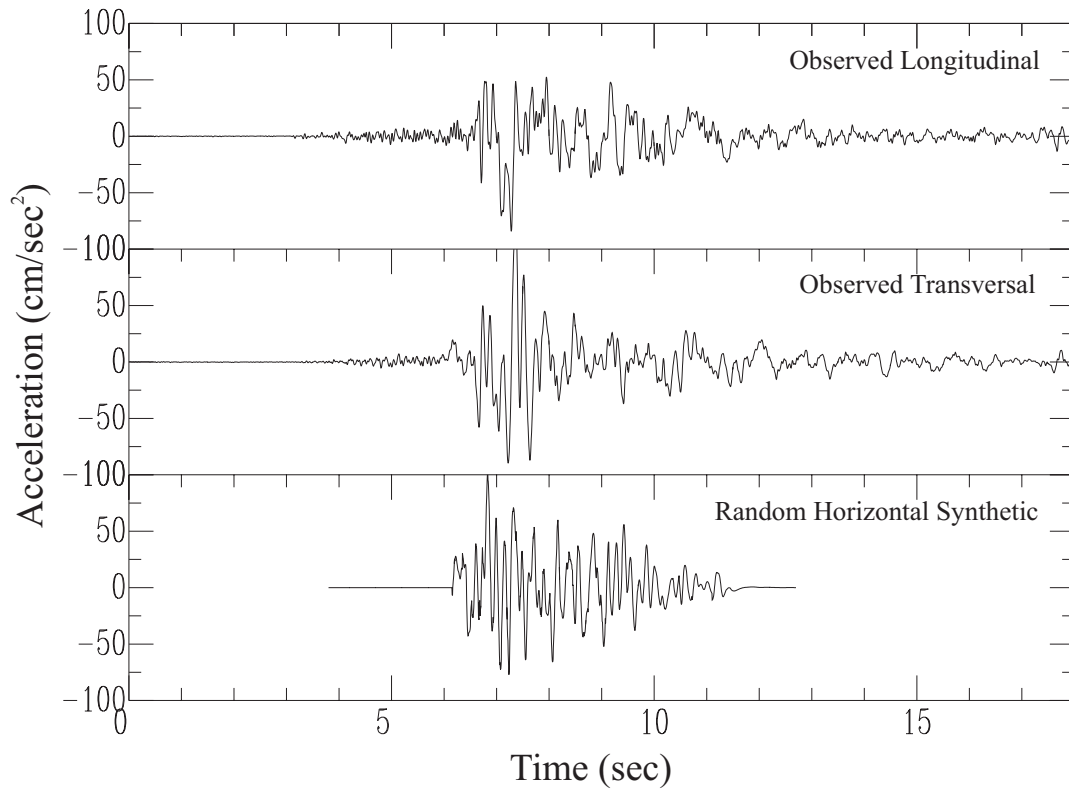


**Σχήμα 15:** Σύγκριση παρατηρούμενων οριζόντιων συνιστωσών επιτάχυνσης στον σταθμό COR (επάνω και κέντρο) με τη συνθετική τυχαία οριζόντια συνιστώσα (κάτω).

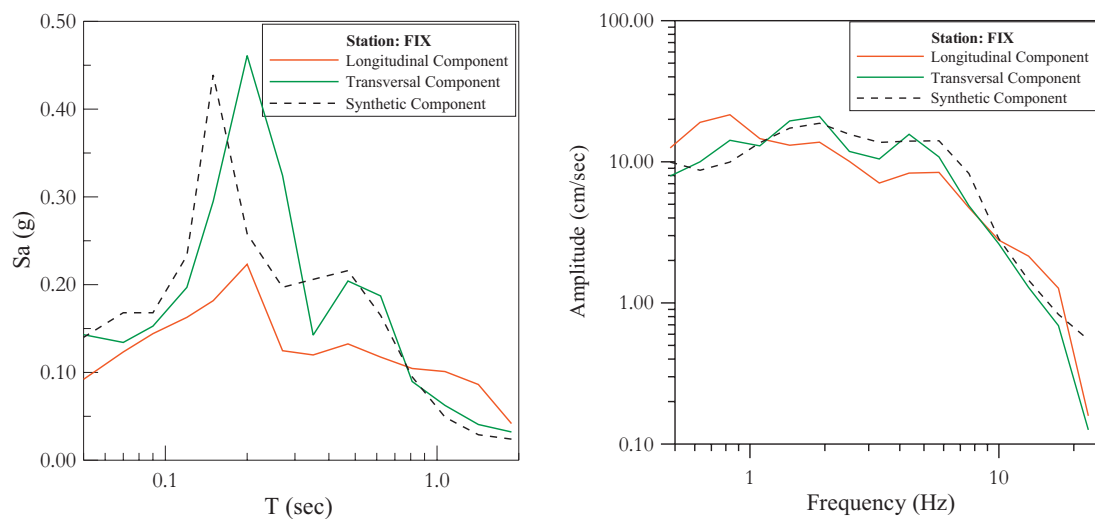


**Σχήμα 16:** Σύγκριση παρατηρούμενων φασμάτων απόκρισης (αριστερά) και πλάτους Fourier (δεξιά) στον σταθμό COR (συνεχείς γραμμές) με τα αντίστοιχα συνθετικά φάσματα (στικτές γραμμές).

### ΣΤΑΘΜΟΣ FIX

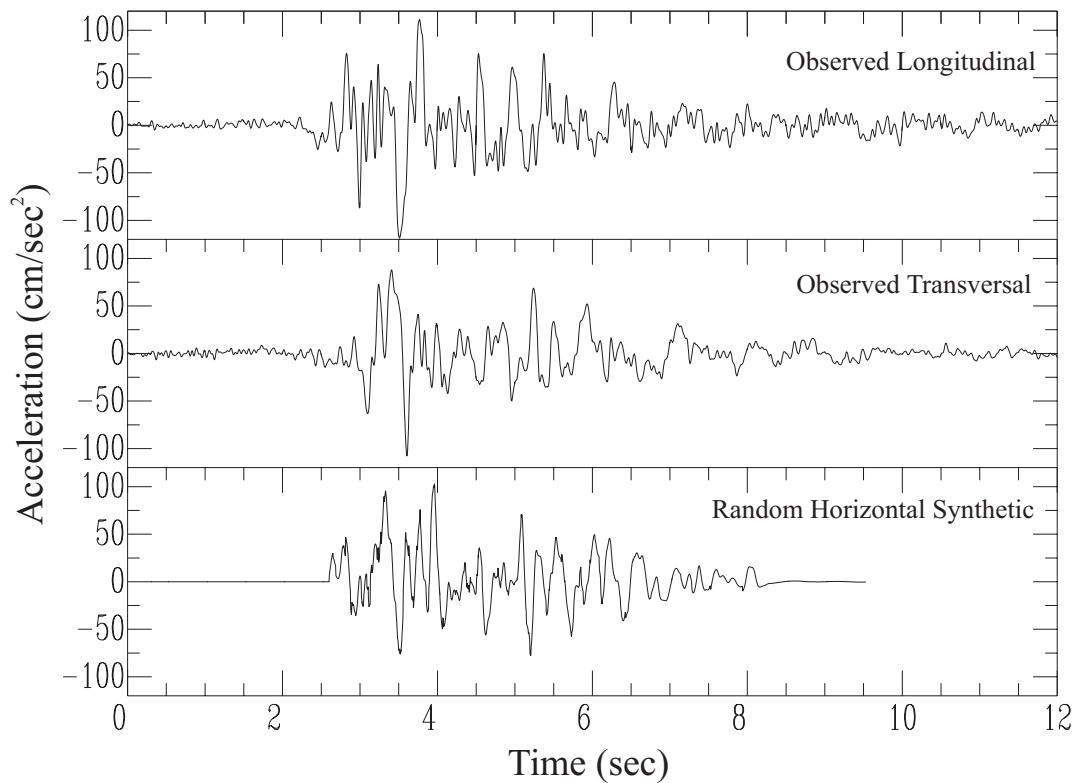


**Σχήμα 17:** Σύγκριση παρατηρούμενων οριζόντιων συνιστωσών επιτάχυνσης στον σταθμό *FIX* (επάνω και κέντρο) με τη συνθετική τυχαία οριζόντια συνιστώσα (κάτω).

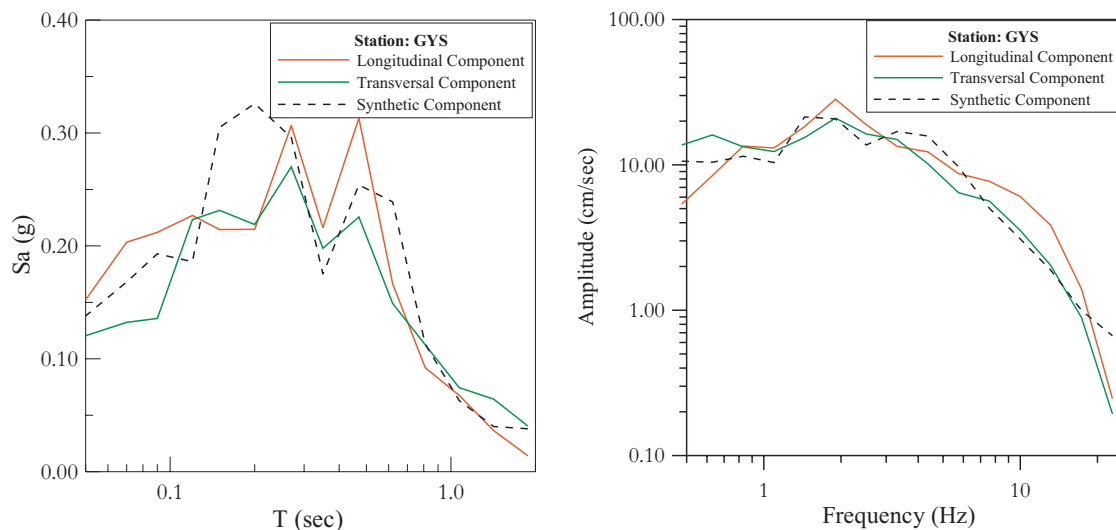


**Σχήμα 18:** Σύγκριση παρατηρούμενων φασμάτων απόκρισης (αριστερά) και πλάτους *Fourier* (δεξιά) στον σταθμό *FIX* (συνεχείς γραμμές) με τα αντίστοιχα συνθετικά φάσματα (στικτές γραμμές).

### ΣΤΑΘΜΟΣ GYS

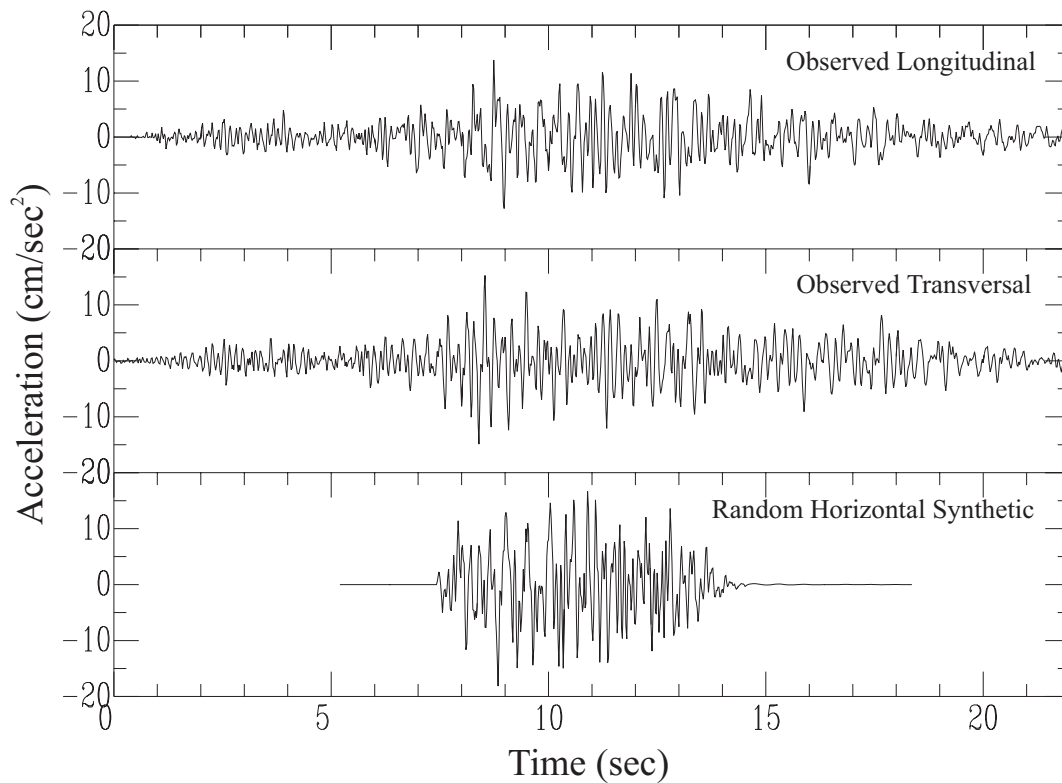


**Σχήμα 19:** Σύγκριση παρατηρούμενων οριζόντιων συνιστωσών επιτάχυνσης στον σταθμό GYS (επάνω και κέντρο) με τη συνθετική τυχαία οριζόντια συνιστώσα (κάτω).

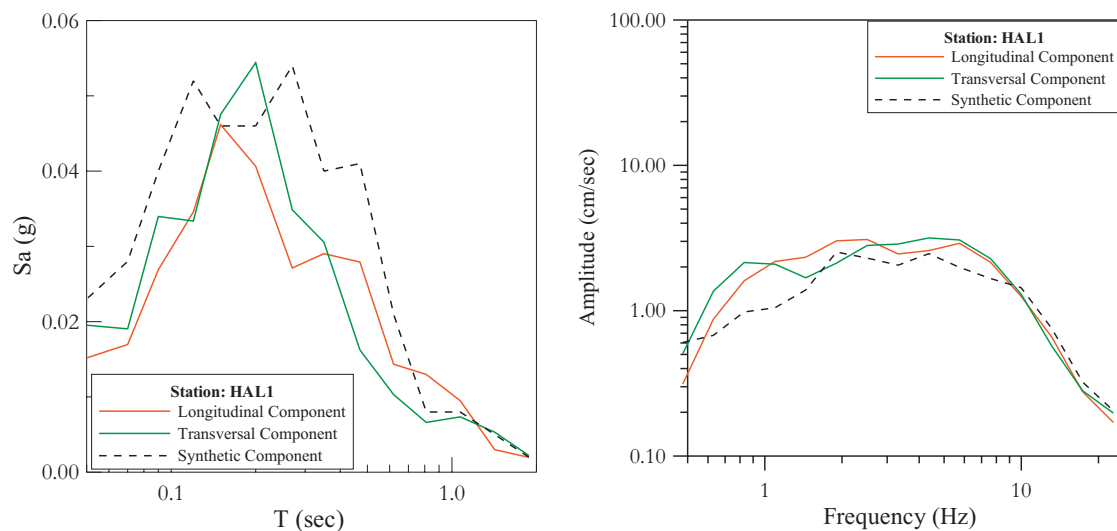


**Σχήμα 20:** Σύγκριση παρατηρούμενων φασμάτων απόκρισης (αριστερά) και πλάτους Fourier (δεξιά) στον σταθμό GYS (συνεχείς γραμμές) με τα αντίστοιχα συνθετικά φάσματα (στικτές γραμμές).

### ΣΤΑΘΜΟΣ HAL1

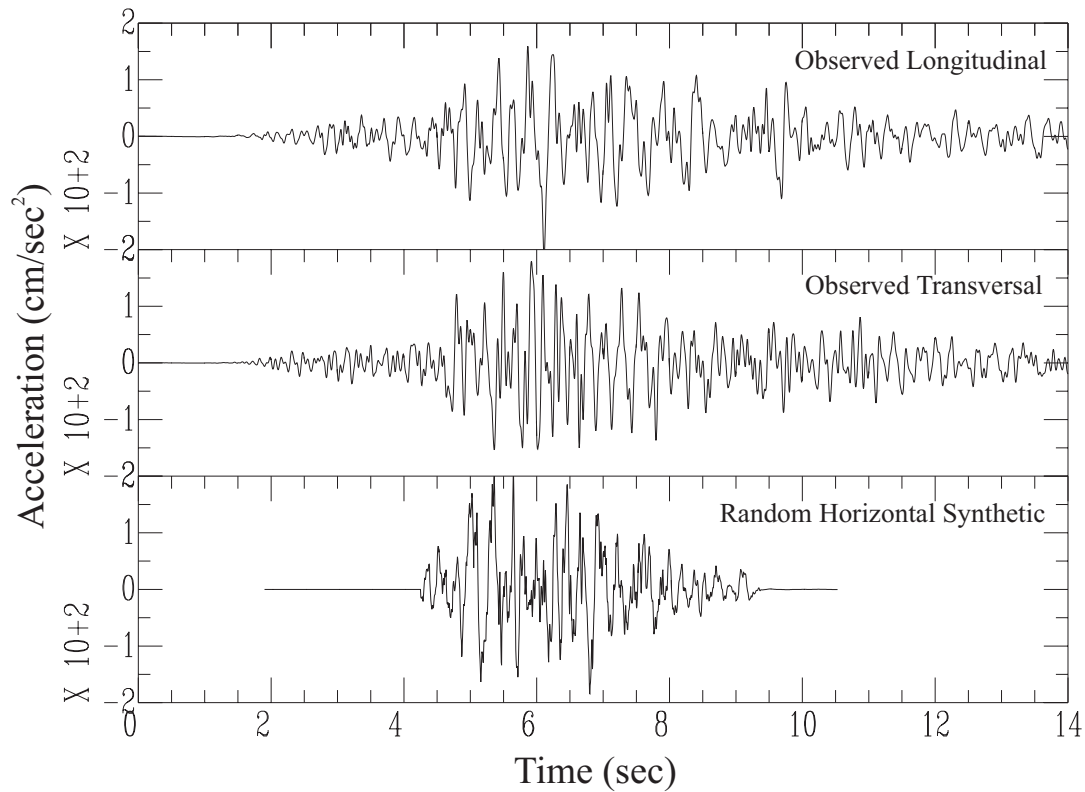


**Σχήμα 21:** Σύγκριση παρατηρούμενων οριζόντιων συνιστωσών επιτάχυνσης στον σταθμό HAL1 (επάνω και κέντρο) με τη συνθετική τυχαία οριζόντια συνιστώσα (κάτω).

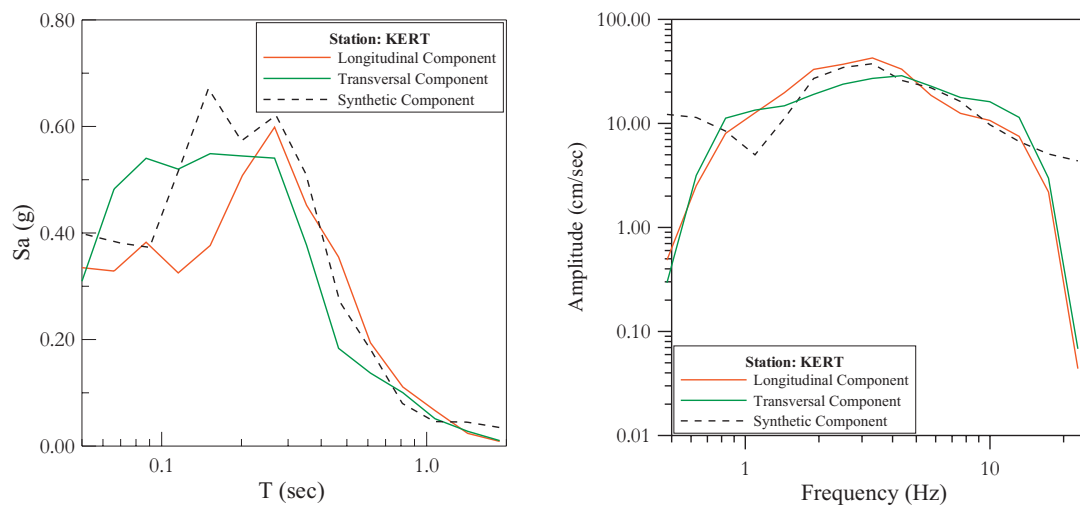


**Σχήμα 22:** Σύγκριση παρατηρούμενων φασμάτων απόκρισης (αριστερά) και πλάτους Fourier (δεξιά) στον σταθμό HAL1 (συνεχείς γραμμές) με τα αντίστοιχα συνθετικά φάσματα (στικτές γραμμές)

### ΣΤΑΘΜΟΣ KERT

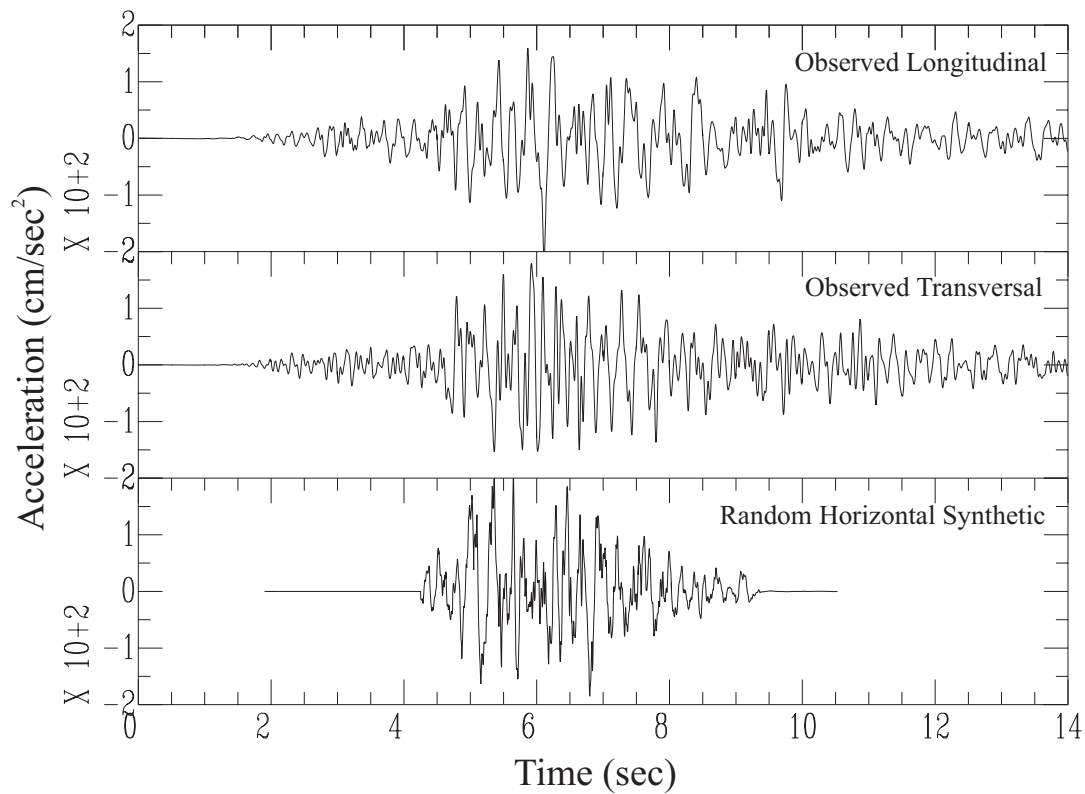


**Σχήμα 23:** Σύγκριση παρατηρούμενων οριζόντιων συνιστωσών επιτάχυνσης στον σταθμό KERT (επάνω και κέντρο) με τη συνθετική τυχαία οριζόντια συνιστώσα.

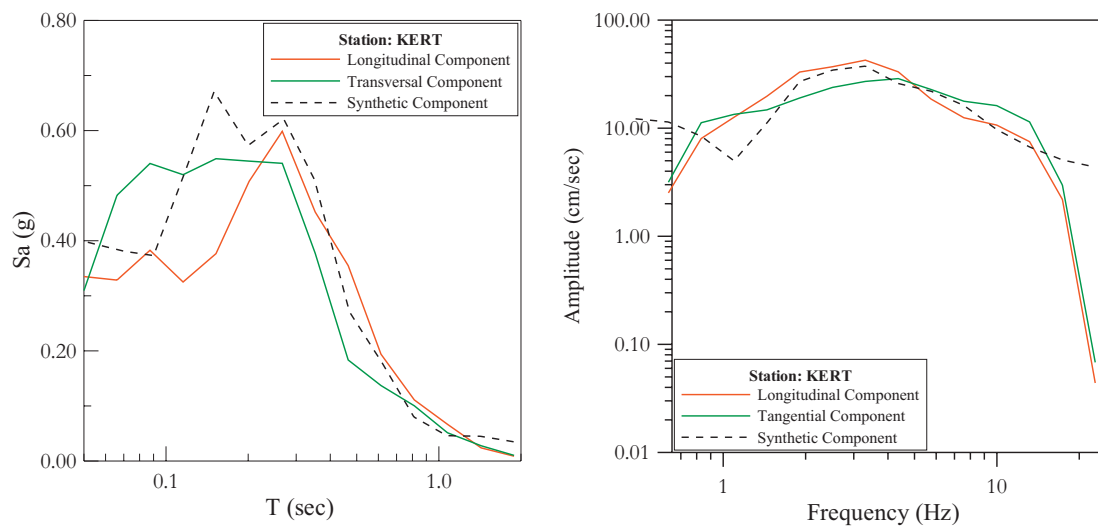


**Σχήμα 24:** Σύγκριση παρατηρούμενων φασμάτων απόκρισης (αριστερά) και πλάτους Fourier (δεξιά) στον σταθμό KERT (συνεχείς γραμμές) με τα αντίστοιχα συνθετικά φάσματα (στικτές γραμμές).

### ΣΤΑΘΜΟΣ LAVR

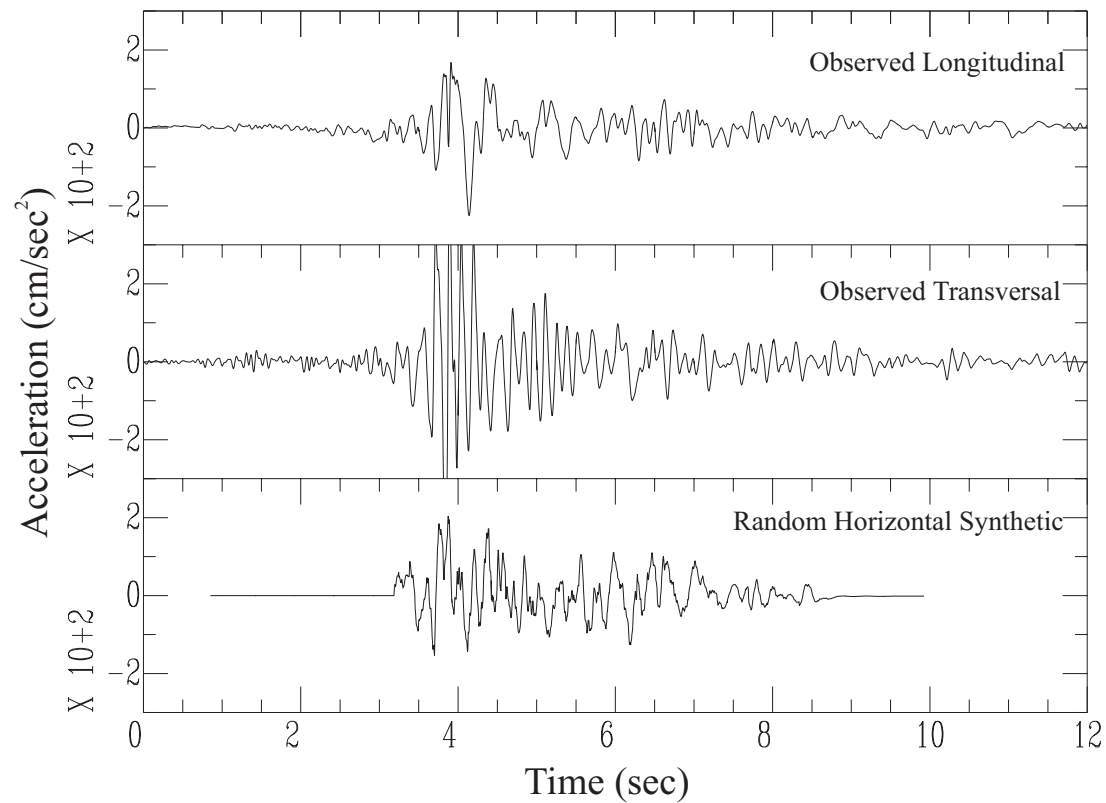


**Σχήμα 25:** Σύγκριση παρατηρούμενων οριζόντιων συνιστωσών επιτάχυνσης στον σταθμό KERT (επάνω και κέντρο) με τη συνθετική τυχαία οριζόντια συνιστώσα.

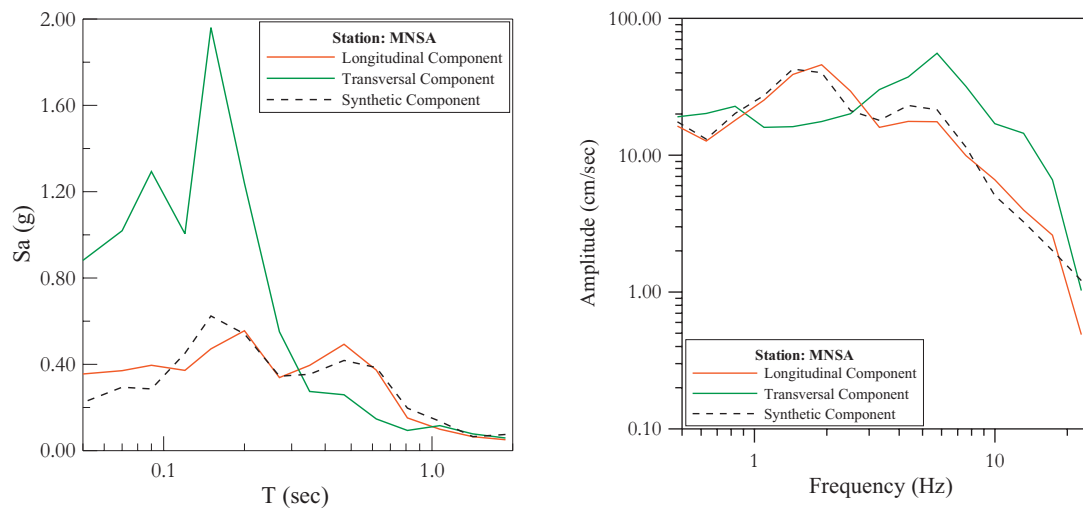


**Σχήμα 26:** Σύγκριση παρατηρούμενων φασμάτων απόκρισης (αριστερά) και πλάτους Fourier (δεξιά) στον σταθμό KERT (συνεχείς γραμμές) με τα αντίστοιχα συνθετικά φάσματα (στικτές γραμμές).

### ΣΤΑΘΜΟΣ MNSA

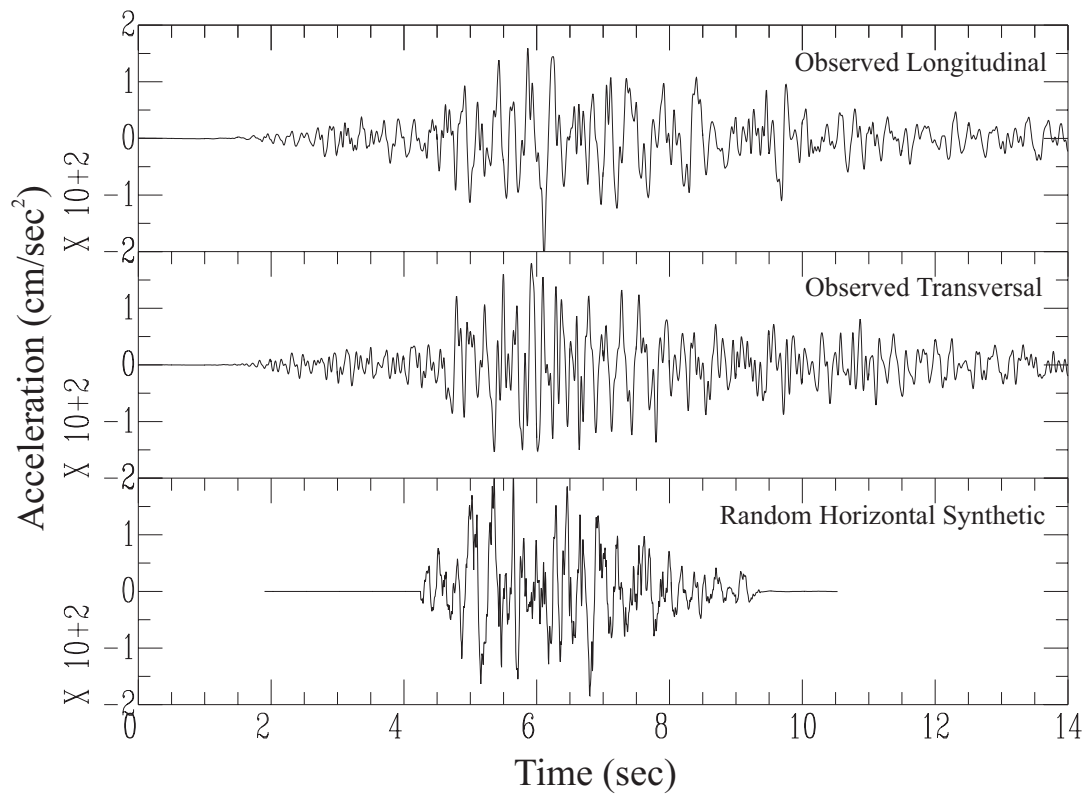


**Σχήμα 27:** Σύγκριση παρατηρούμενων οριζόντιων συνιστωσών επιτάχυνσης στον σταθμό MNSA (επάνω και κέντρο) με τη συνθετική τυχαία οριζόντια συνιστώσα (κάτω).

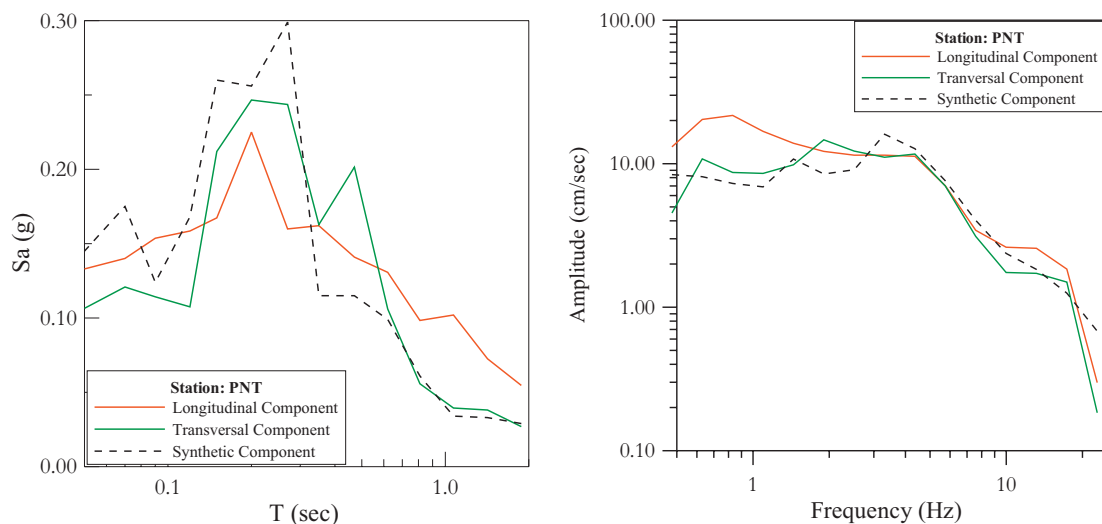


**Σχήμα 28:** Σύγκριση παρατηρούμενων φασμάτων απόκρισης (αριστερά) και πλάτους Fourier (δεξιά) στον σταθμό MNSA (συνεχείς γραμμές) με τα αντίστοιχα συνθετικά φάσματα (στικτές γραμμές).

### ΣΤΑΘΜΟΣ PNT



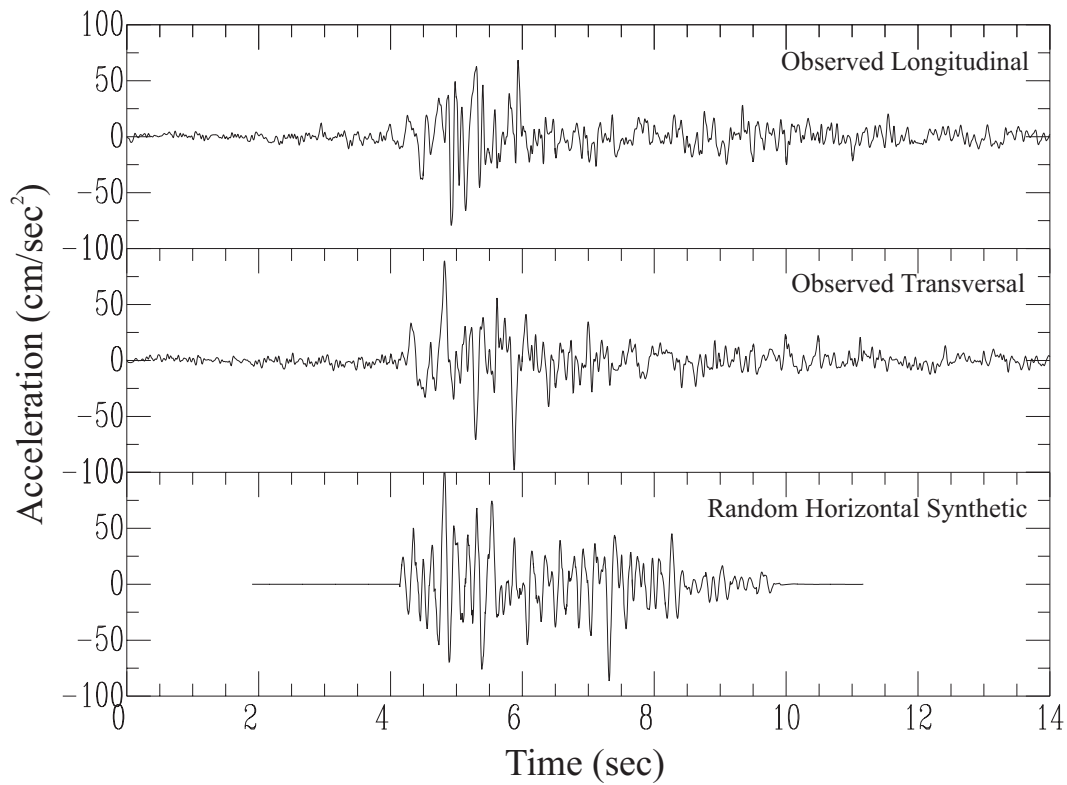
**Σχήμα 29:** Σύγκριση παρατηρούμενων οριζόντιων συνιστωσών επιτάχυνσης στον σταθμό KERT (επάνω και κέντρο) με τη συνθετική τυχαία οριζόντια συνιστώσα.



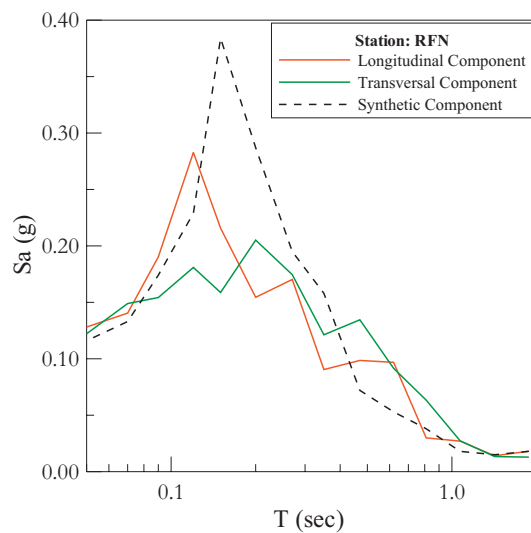
**Σχήμα 30:** Σύγκριση παρατηρούμενων φασμάτων απόκρισης (αριστερά) και πλάτους Fourier (δεξιά) στον σταθμό KERT (συνεχείς γραμμές) με τα αντίστοιχα συνθετικά φάσματα (στικτές γραμμές).



### ΣΤΑΘΜΟΣ RFN

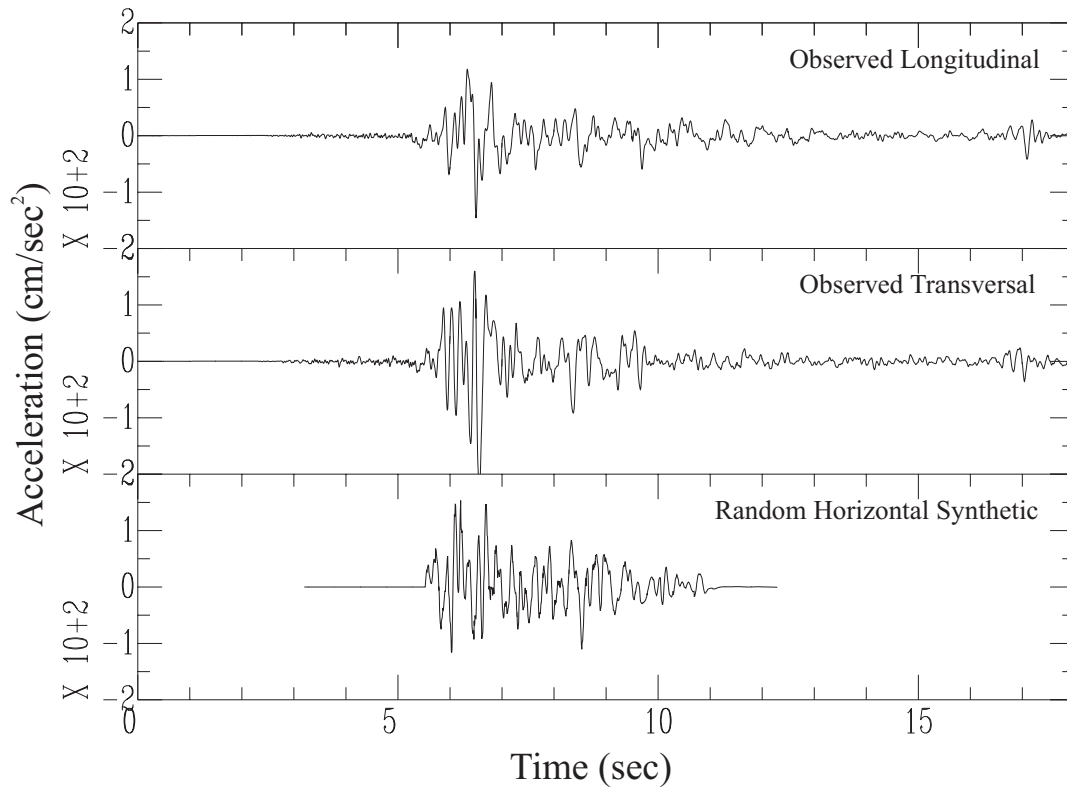


**Σχήμα 31:** Σύγκριση παρατηρούμενων οριζόντιων συνιστωσών επιτάχυνσης στον σταθμό RFN (επάνω και κέντρο) με τη συνθετική τυχαία οριζόντια συνιστώσα (κάτω).

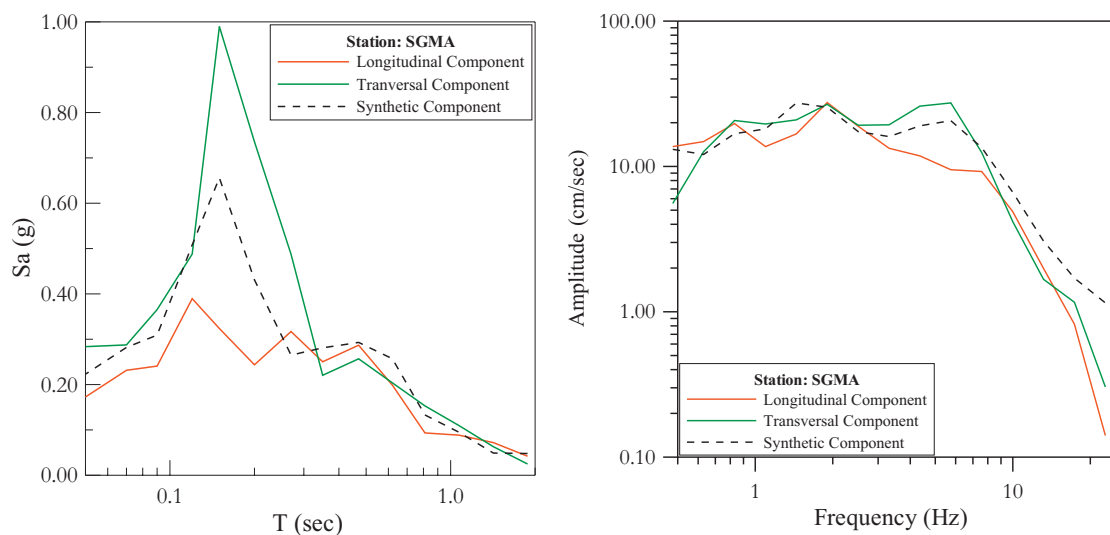


**Σχήμα 32:** Σύγκριση παρατηρούμενων φασμάτων απόκρισης (αριστερά) και πλάτους Fourier (δεξιά) στον σταθμό RFN (συνεχείς γραμμές) με τα αντίστοιχα συνθετικά φάσματα (στικτές γραμμές).

### ΣΤΑΘΜΟΣ SGMA

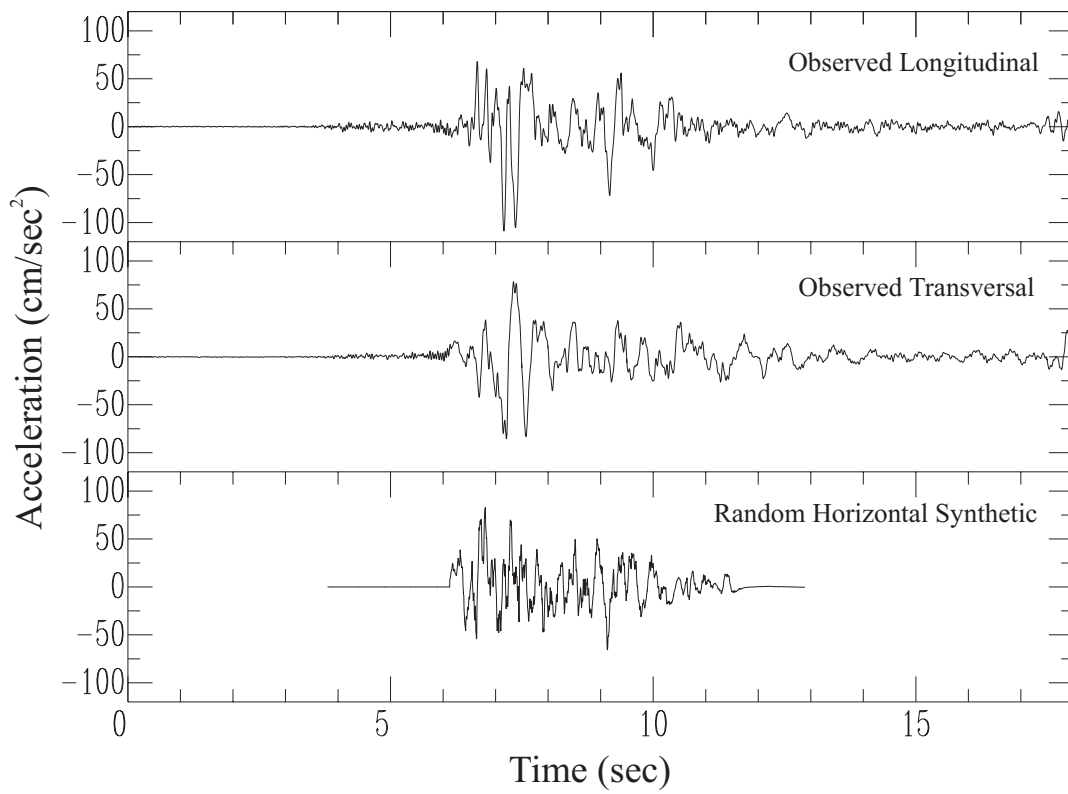


**Σχήμα 33:** Σύγκριση παρατηρούμενων οριζόντιων συνιστωσών επιτάχυνσης στον σταθμό SGMA (επάνω και κέντρο) με τη συνθετική τυχαία οριζόντια συνιστώσα (κάτω).

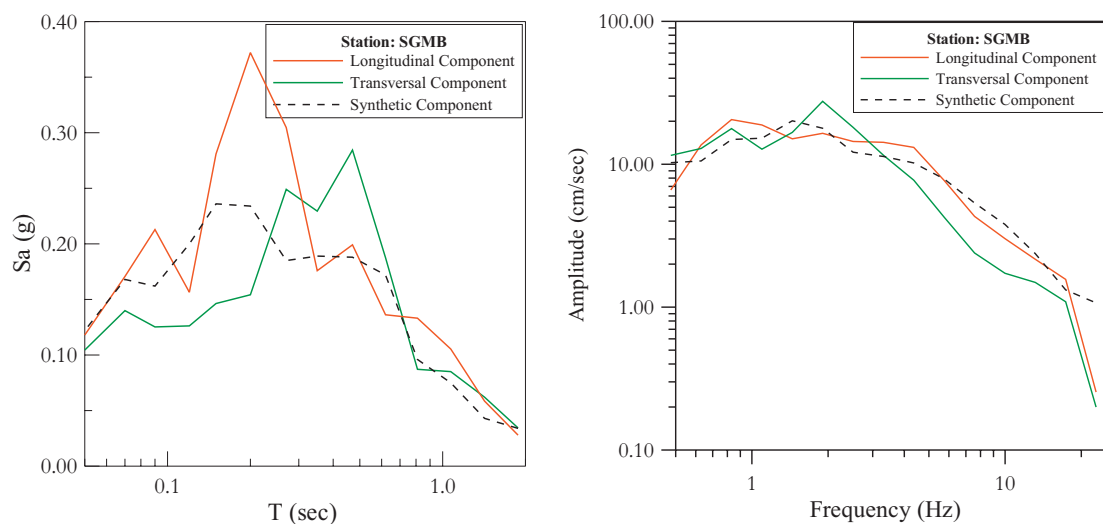


**Σχήμα 34:** Σύγκριση παρατηρούμενων φασμάτων απόκρισης (αριστερά) και πλάτους Fourier (δεξιά) στον σταθμό SGMA (συνεχείς γραμμές) με τα αντίστοιχα συνθετικά φάσματα (στικτές γραμμές).

### ΣΤΑΘΜΟΣ SGMB

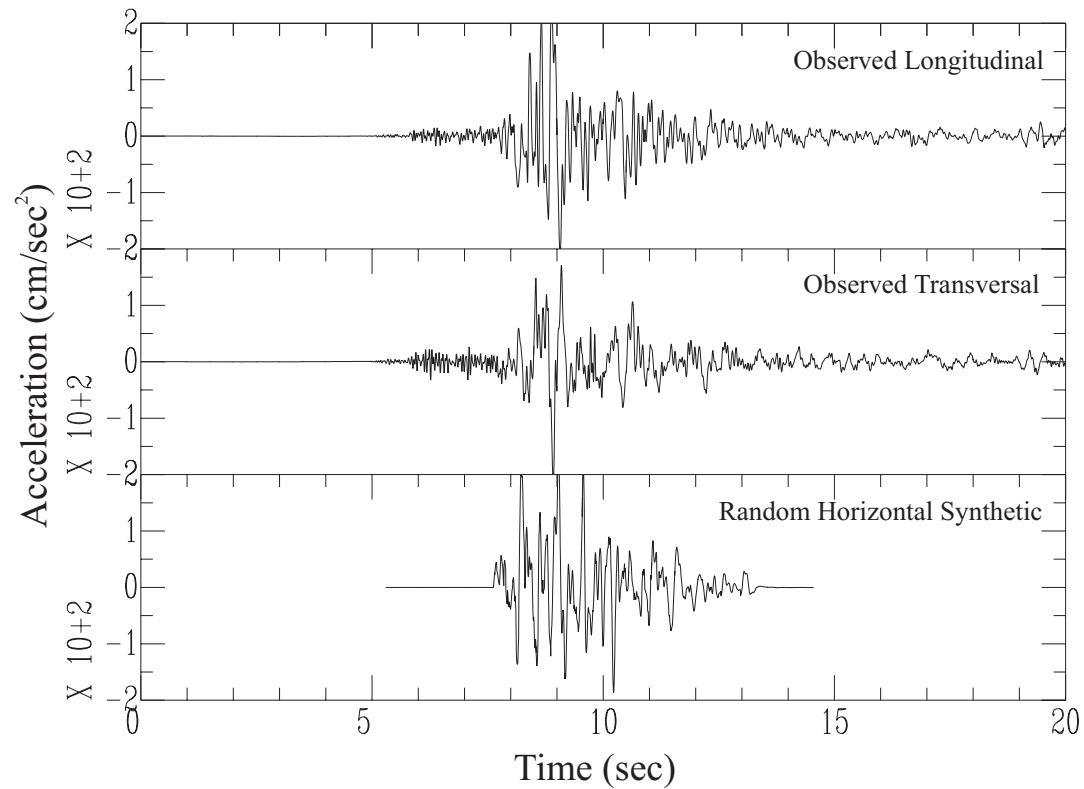


**Σχήμα 35:** Σύγκριση παρατηρούμενων οριζόντιων συνιστωσών επιτάχυνσης στον σταθμό SGMB (επάνω και κέντρο) με τη συνθετική τυχαία οριζόντια συνιστώσα (κάτω).

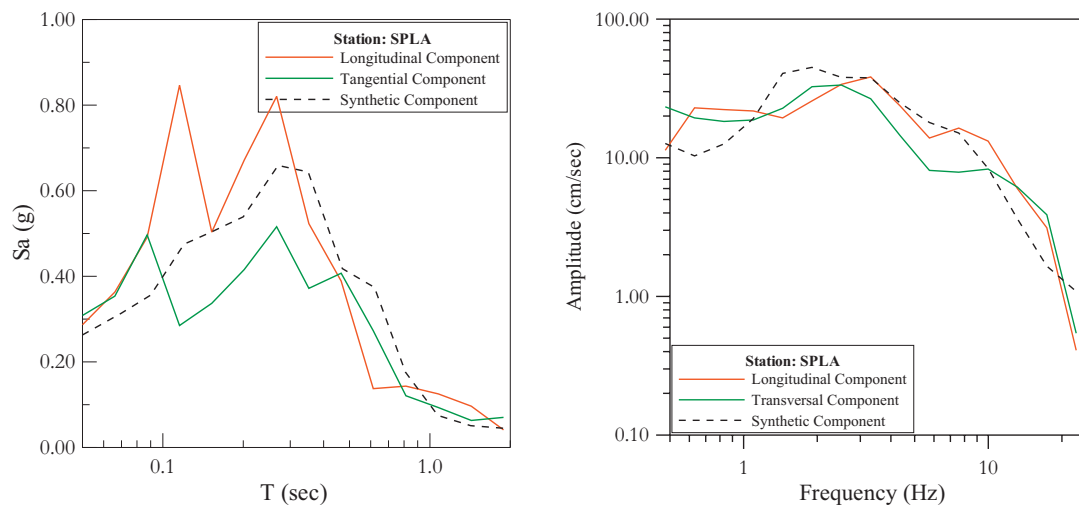


**Σχήμα 36:** Σύγκριση παρατηρούμενων φασμάτων απόκρισης (αριστερά) και πλάτους Fourier (δεξιά) στον σταθμό SGMB (συνεχείς γραμμές) με τα αντίστοιχα συνθετικά φάσματα (στικτές γραμμές).

### ΣΤΑΘΜΟΣ SPLA

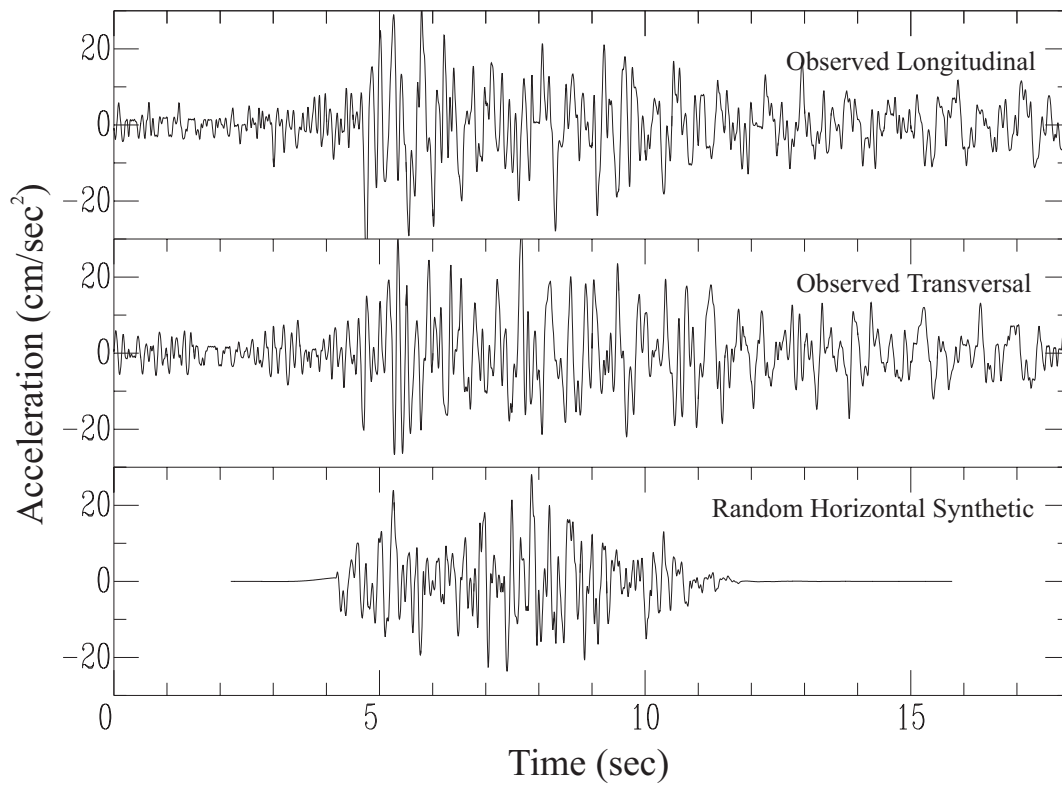


**Σχήμα 37:** Σύγκριση παρατηρούμενων οριζόντιων συνιστωσών επιτάχυνσης στον σταθμό SPLA (επάνω και κέντρο) με τη συνθετική τυχαία οριζόντια συνιστώσα (κάτω).

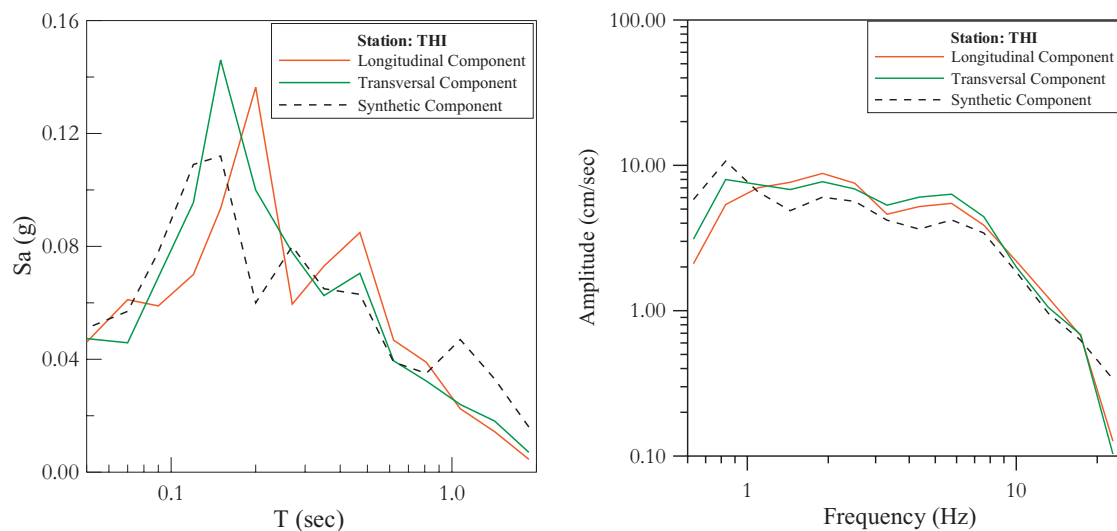


**Σχήμα 38:** Σύγκριση παρατηρούμενων φασμάτων απόκρισης (αριστερά) και πλάτους Fourier (δεξιά) στον σταθμό SPLA (συνεχείς γραμμές) με τα αντίστοιχα συνθετικά φάσματα (στικτές γραμμές).

### ΣΤΑΘΜΟΣ TH1



**Σχήμα 39:** Σύγκριση παρατηρούμενων οριζόντιων συνιστωσών επιτάχυνσης στον σταθμό TH1 (επάνω και κέντρο) με τη συνθετική τυχαία οριζόντια συνιστώσα (κάτω).



**Σχήμα 40:** Σύγκριση παρατηρούμενων φασμάτων απόκρισης (αριστερά) και πλάτους Fourier (δεξιά) στον σταθμό TH1 (συνεχείς γραμμές) με τα αντίστοιχα συνθετικά φάσματα (στικτές γραμμές).